

單邊帶移相調制

苏联 Б. Б. 施捷因 著
H. A. 契尔涅雅克

黃嘉义 赵宗基 齐立心 譯
王健槐 李望禹

人民邮电出版社

Б. Б. ШТЕЙН И Н. А. ЧЕРНЯК
ОДНОПОЛОСНАЯ МОДУЛЯЦИЯ
С ПОМОЩЬЮ ФАЗОВЫХ СХЕМ
СВЯЗЬИЗДАТ. 1959

内 容 提 要

本书討論以移相法来获得单边带信号的方法，对载频及另一边带的抑制情况也作了定量的探討。由于用移相法产生单边带除了方案是否合理外，还决定于一些部件是否能达到技术标准，如寬頻帶低頻移相器，以及对一些元件的誤差度的要求等，书中对这些問題都作了較深入的討論。

此外，书中还列出一些具体电路、实验資料、数据，以及一些工程計算方法，使讀者能更好地了解这些方案的性能和实现的可能性。

单 边 带 移 相 調 制

著 者：苏联 Б. Б. 施捷因 Н. А. 契尔涅雅克

譯 者：黄嘉义 赵宗基 齐立心 王健槐 李望禹

出版者：人 民 邮 电 出 版 社

北京东四6条13号

(北京市书刊出版业营业许可证出字第〇四八号)

印刷者：北 京 市 印 刷 一 厂

发行者：新 华 书 店 北 京 发 行 所

經售者：各 地 新 华 书 店

开本 787×1092 1/32 1965 年 8 月北京第一版

印张 5 30/32 页数 95 1965 年 8 月北京第一次印刷

印刷字数 135,000 字 印数 1—3,350 册

统一书号：15045·总 1493—无 430

定价：(科 7) 0.85 元

目 录

1. 緒論.....	1
2. 利用多相調制法分离单边带.....	5
2.1 一般原理.....	5
2.2 三相調制.....	7
2.3 四相調制.....	8
2.4 两相調制.....	10
3. 无线通信中单边带的分离.....	11
3.1 RC 低頻寬頻帶移相器	11
3.2 移相四端网络元件的精确度.....	26
3.3 移相器的組成和調整.....	37
3.4 寬頻帶移相器的頻帶展寬.....	43
3.5 高頻移相器.....	54
3.6 三相单边带調制.....	62
3.7 两相单边带調制.....	86
3.8 用四个平衡調制器的两相調制方式.....	89
3.9 用四个調制級的两相調制方式.....	94
3.10 四相調制	103
3.11 将低頻頻譜分段的多相調制方式	107
3.12 残余載頻的形成	119
4. 单边带变频原理在有线通信和广播技术中的应用.....	121
4.1 单边带变频设备在通信和广播设备中的用途.....	121
4.2 差相设备的基本概念.....	123
4.3 差相设备的工作原理.....	125
4.4 差相设备的频率特性.....	129
4.5 在差相电路输出端上变频副产物的频谱.....	137
4.6 在给定频带内，两个电压间有固定相差的具体电路.....	146
4.7 差相电路元件的结构误差和损耗对电路参数的影响.....	165

4.8 差相設设备的实际制作.....	178
4.9 多路設设备中差相設设备的应用.....	183
参考資料	184

1. 緒論

在現代的通信技术中单边带设备占有非常重要的地位。单边带传输显著地提高了无线电通信的抗干扰性。这是由于它比一般的双边带传输有較大的等效功率增益的缘故。功率增益是由一系列因素决定的。

无线电通信中用单边带和用双边带传输的优劣可以很方便地根据收信端的接收效果来評定。假設检波器的特性是綫性的，当双边带传输时，接收机低頻电压正比于两个边带电压的和，即 mU_n (m ——調制指数； $U_n = \frac{U_{a_{max}}}{1 + m_{max}}$ ——发射机的載頻电压)。当单边带传输时，低頻电压正比于 $U_{a_{max}}$ ，因为发射机輸出級負載上的电压是决定于峰值状态的。应当指出，在我們所討論的問題中， m_{max} 是指最大响度时的情况。于是获得了 $\frac{1 + m_{max}}{m_{max}}$ 倍的增益。对于 100% 的調制，就有两倍的电压增益，而功率增益則为四倍。这种比較是在发射管的額定功率相同的条件下进行的。

其次，当改为单边带工作后会縮窄一半頻譜。因此噪声电平对有用信号的比值将降为原来的 $\frac{1}{\sqrt{2}}$ 。这相当于有两倍等效功率增益。我們看到，在功率方面較好地利用了电子管和縮窄一半頻帶使获得相当于有八倍的等效功率增益。

当发射机的全部峰值功率都用在产生单边带振蕩时，以上的概念是正确的。但在現代无线电通信的单边带设备里，是輻射一部分残余載頻的，用它来同步接收端的本地振蕩頻率。残余載頻电压通常は最大电压值的 10%。这时，前面提到的等

效功率增益将是 6.5 倍了。当然，等效功率增益不尽限于此。事实是，当单边带工作时，没有载频选择性衰落和由于两个边带相位移而产生的短波传播所特有的失真。經驗証明，沒有选择性衰落就等效于两倍的功率增益。因此，当保証与双边带传输有同样的接收质量指标时，改为单边带工作就相当于有 6.5—13 倍或 8.15—11.15 分貝的功率增益。这就使我們能解决有关多路传输的問題。如果发射机功率保持与双边带工作时相同的話，单边带接收的抗干扰性将增大很多倍。

特別应当着重指出的是，单边带通信可压缩一半頻譜，在太空拥挤的情况下，这一事实具有重大的意义。

在单边带传输中除去上面所提到的和熟知的优点外，它在能量效率方面也是相当高的。在单边带发射机中所消耗的功率与調制指数成正比（这是对进行調制那一級說的）。考慮了残余載頻，可以认为，輸入功率等于 $0.1 P_{0\max} + 0.9 mP_{0\max}$ 。无线電話发射机的平均調制指数是 0.5（有調制限幅器的情况下）。假設說話的时间占 50%，我們得到 $P_{0cp} = \frac{1}{3} P_{0\max}$ 。

在广播发射机中可以认为

$$P_{0cp} = 0.1 P_{0\max} + 0.9 P_{0\max} e^{-0.06B + 0.0004B^2},$$

式中， B ——传输的动态范围，以分貝表示（上式对 $\theta=90^\circ$ 的边带放大器是正确的）。如果 $B=40—60$ 分貝，消耗功率的平均值 $P_{0cp} = (0.28—0.22) P_{0\max}$ 。

我們看出，单边带发射机消耗的功率比屏极調制或柵极調制情况小得多。

上面列举的单边带无线電通信的主要优点，奠定了近年来对这种電話通信的巨大兴趣。对于短波段而言，可以肯定說稳定的電話通信仅仅用单边带才是有实际可能的。

不过单边带无线電通信的巨大可能性不仅是限于話路，这个

系統也可在无线电报通信中找到广泛的应用。正是这样，近来提出了关于建立国际多路单边带无线电报通信的問題。这些系統是十分灵活的。它的一个电路可以由其它电路代替，或是用几个报路来，传输電話。

前面所提到的关于单边带通信的一般設想，系着重指出这种系統的前景。但是，随着对不工作边带的抑制及非綫性失真等等要求的提高，众所周知的、产生单边带信号的困难也将加大。利用重复平衡調制和晶体滤波器分离单边带的方法已是非常熟悉的，虽然这种系統是繁复的，但它在工程上已获得解决，并达到了相当完善的地步。

在載波通信和載波有綫广播技术中，单边带传输的原理早已有了十分广泛的应用。这是由于使得它能付諸实用的下列各优点：提高通信綫路复用率，在綫路上可以不傳輸載頻电流，可以建立群系統和提高它們的干扰防护度，减小綫路特性对通路指标的影响等等。

在长途通信載波机中分离单边带是利用一般电抗元件或压电元件組成的滤波器。在前一种情况下，利用預調制电路可以获得更有效的抑制无用边带。

通信和广播技术进一步的发展，使对单边带传输設備的要求更为复杂，以致使得为了这个目的，在某些新設計的机器中，使用一般的频率滤波法成为不适合。由于制造利用电缆及微波接力綫路传输的高质量广播机（包括长途传输电视伴音），出現了需要分出带寬达 10—15 千赫频带的必要性。此外，为了这个目的，所采用的設備應該在工作頻帶外具有陡升的衰耗特性。因为它的下限频率（30—50 赫）很低，所以广播机的特征是：其有用及无用边带相互很接近。設計制造具有所要求特性的滤波器，在目前还是很困难的，这就使这些問題不易

解决。

高频技术在苏联所建立的短途通信系统中的运用，提出了有关设计制造经济的多路电话设备的问题。但是在这种设备中使用一般的分离单边带的方法不可能同时解决两个互相矛盾的任务——运用单级变频（可以增多每群中的路数）的方法来简化群系统，以及各终端机的标准化，这首先在于减少终端机内滤波器的类型。

在许多情况下使用现有的单边带传输方法会引起机器的不必要的复杂化：增多变频级数，必须在某些类型的机器中使用复杂的晶体滤波器，而这些措施却又不符合对它所提出的总体要求，等等。

因此，进一步发展技术，就需要除了改善已用于实际中的形成单边带信号的方法外，还应采用当制造通信设备和广播设备时能保证更灵活解决问题的其它原则。为此，多相变频电路的运用创立了许多新的可能性，特别是可以解决在高质量广播通路中分离单边带的问题，使短距离多路电话系统的设备标准化和简化的問題。

近年来，多相变频设备开始在新的载波有线广播设备和载波电话设备中有了广泛的应用。

由两个并联电路组成的两相变频电路获得最广泛的应用，这两个并联的电路使在公共负载上迭加的输出电压保证有必要相位差。由于这种结构，这些电路称为差相电路。

在本书中研究了与特性的分析，有关的问题以及在无线电及有线通信和广播技术中应用、制造多相变频设备的方法。

2. 利用多相調制法分离单边带

2.1 一般原理

在多相調制系統中，形成單邊帶振蕩的方法與重複平衡調制法不同。它是依靠适当选择每一相的两个边带的位置来实现的。在这种情况下我們應該有 n 相高頻电压和 n 相低頻电压，并且 n 相高頻电压分別被 n 相低頻电压調制，在每一相中形成載頻和两个边带。分离单边带的問題在于当各相所有分量迭加时（例如在公共回路上），應該抑制掉載頻和其中一个边带。換句話說，单边带信号的分离是迭加的結果。

我們先研究這個問題的一般形式。假設 n 相高頻電壓（或電流）被 n 相音頻電壓（或電流）所調制，多相調制的結果就得到下列一系列電壓：

$$\left. \begin{aligned} u_1 &= U_n (1 + m \sin \Omega t) \sin \omega_0 t \\ u_2 &= U_n \left[1 + m \sin \left(\Omega t + \frac{2\pi}{n} \right) \right] \sin \left(\omega_0 t + \frac{2\pi}{n} \right) \\ u_3 &= U_n \left[1 + m \sin \left(\Omega t + 2\frac{2\pi}{n} \right) \right] \sin \left(\omega_0 t + 2\frac{2\pi}{n} \right) \\ &\dots \\ u_k &= U_n \left\{ 1 + m \sin \left[\Omega t + (k-1)\frac{2\pi}{n} \right] \right\} \sin \left[\omega_0 t + (k-1)\frac{2\pi}{n} \right] \\ &\dots \\ u_n &= U_n \left\{ 1 + m \sin \left[\Omega t + (n-1)\frac{2\pi}{n} \right] \right\} \sin \left[\omega_0 t + (n-1)\frac{2\pi}{n} \right] \end{aligned} \right\} \quad (2.1.1)$$

式中 $u_1, u_2, u_3 \dots, u_k, \dots u_n$ 是 n 相高頻系統對應地被 n 相音頻電壓系統調制後各相電壓的瞬時值； $\Omega = 2\pi F$ 是音頻電壓的角頻率； $\omega_0 = 2\pi f_0$ 是高頻電壓的角頻率； U_n 是載頻電壓。

假設公式 (2.1.1) 所列的是頻率相同而相位不同的一系列電壓，如果在公共回路中相加，則得到

$$\begin{aligned} u_\Sigma &= u_1 + u_2 + u_3 + \dots + u_k + \dots + u_n \\ &= \sum_{k=1}^n U_n \left\{ 1 + m \sin \left[\Omega t + (k-1) \frac{2\pi}{n} \right] \right\} \sin \left[\omega_0 t + (k-1) \frac{2\pi}{n} \right] \\ &= \sum_{k=1}^n U_n \sin \left[\omega_0 t + (k-1) \frac{2\pi}{n} \right] + \sum_{k=1}^n U_n m \sin \left[\Omega t + \right. \\ &\quad \left. + (k-1) \frac{2\pi}{n} \right] \sin \left[\omega_0 t + (k-1) \frac{2\pi}{n} \right]. \end{aligned} \quad (2.1.2)$$

可以看到，式中第一項 $\sum_{k=1}^n U_n \sin \left[\omega_0 t + (k-1) \frac{2\pi}{n} \right]$ 是 n 相未調高頻電壓瞬時值的總和。因為在選擇各高頻電壓時，總是使這些電壓組成封閉的多邊形 ($n > 2$)，所以，它們的幾何和也永遠等於零。這意味著瞬時值的總和也等於零。即

$$\sum_{k=1}^n U_n \sin \left[\omega_0 t + (k-1) \frac{2\pi}{n} \right] = 0.$$

公式(2.1.2)右邊第二項可變為：

$$\begin{aligned} &\sum_{k=1}^n U_n m \sin \left[\Omega t + (k-1) \frac{2\pi}{n} \right] \sin \left[\omega_0 t + (k-1) \frac{2\pi}{n} \right] \\ &= \sum_{k=1}^n U_n m \frac{1}{2} \cos (\omega_0 - \Omega)t - \sum_{k=1}^n U_n m \frac{1}{2} \cos \left[(\omega_0 + \Omega)t + \right. \\ &\quad \left. + 2(k-1) \frac{2\pi}{n} \right] = \frac{n}{2} U_n m \cos (\omega_0 - \Omega)t. \end{aligned}$$

这是由于 $n > 2$ 时，根据上述原因，

$$\sum_{k=1}^n U_n m \frac{1}{2} \cos \left[(\omega_0 + \Omega) t + 2(k-1) \frac{2\pi}{n} \right] = 0 \text{ 的緣故。}$$

我們看出，由于 n 相已調电压相加就得到单边带

$$u_s = \frac{n}{2} m U_n \cos (\omega_0 - \Omega) t. \quad (2.1.3)$$

将公式 (2.1.3) 和一般調幅振蕩的单边带公式 $u_s = \frac{1}{2} U_n m \cos (\omega_0 - \Omega) t$ 相比較看出，由于多相調制所分离出的单边带等于所有各相相应的边带振蕩的总和。

上面討論的是分离出下边带的情形，而上边带和載頻都被抑制了。这种結果是由于在調制和被調制的两个电压系中，采用同样的相位順序而得到的（即高頻系的第一相被低頻系第一相調制，第二相被对应的第二相調制等等）。容易証明，其中一个系的相位次序变成相反时，那么将分出上边带。

上面所討論的形成单边带振蕩的一般原理，可供研究某些特殊的情况。

2.2 三相調制

这时 $n = 3$ ，而且各电压間的相移等于 120° 和 240° （图 2.2.1），各电压是对称的。明显地，未調制时載頻电压（它們之間互差 120° ）的三角形是閉合的，这就相当于抑制了載頻。当調制时，根据前节所闡述的道理，其中一个边带被抑制。利用电压矢量图（2.2.2）不難說明从三相調制获得单边带的情形。在这个图

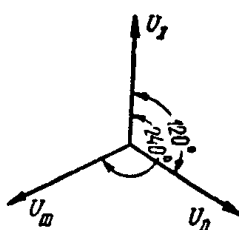


图 2.2.1

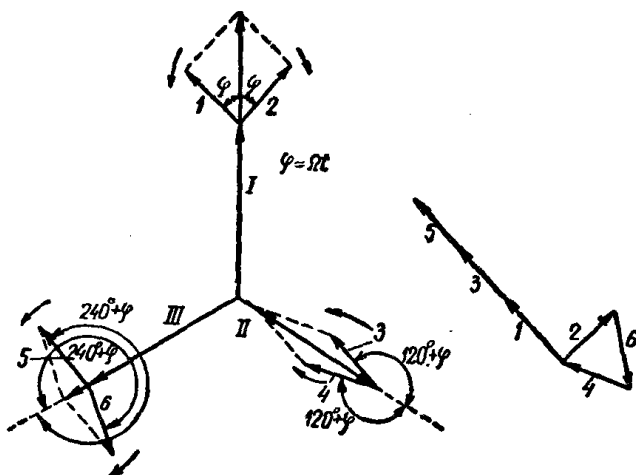


图 2.2.2

上引用了相同的相位順序方案。这时分出的是下边带。

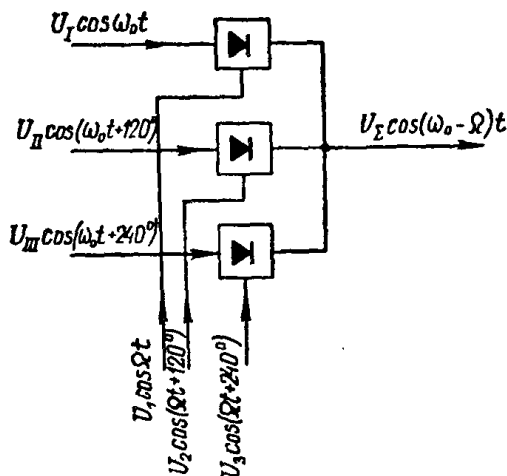


图 2.2.3

上边带振蕩（向量 2、4 及 6）形成閉合三角形，这相当于抑制了上边带。

三相調制的方块图示于图 2.2.3。从这个电路看出，这种調制系統需要有三个工作在公共电路上的被調制級。并将三个相位相差 120° 的独立的高频和低频电压，分别加到这三个調制級上。

2.3 四相調制

对于四相調制($n=4$)，各电压間相位移应等于 90° 、 180° 、

270° (图2.3.1)。也象三相調制一样，所研究的系統是对称的，并且在无調制时載頻被抑制，調制时就分出其中一个边带。这可由矢量图(2.3.2)說明。从这个图看出，下边带振蕩迭加形成了单边带振蕩，上边带各分量成对地彼此方向相反，因而互相抵消(矢量2、4、6和8)。

在图2.3.3上示出了四相調制的方块图。这个电路要求有四个調制装置，它們

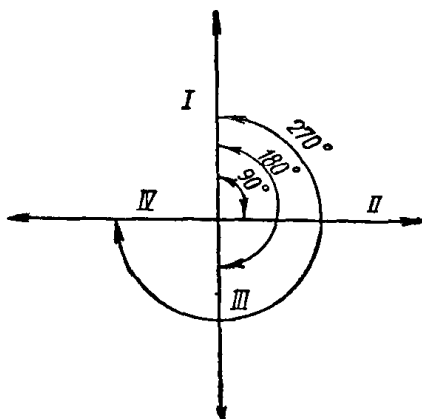


图 2.3.1

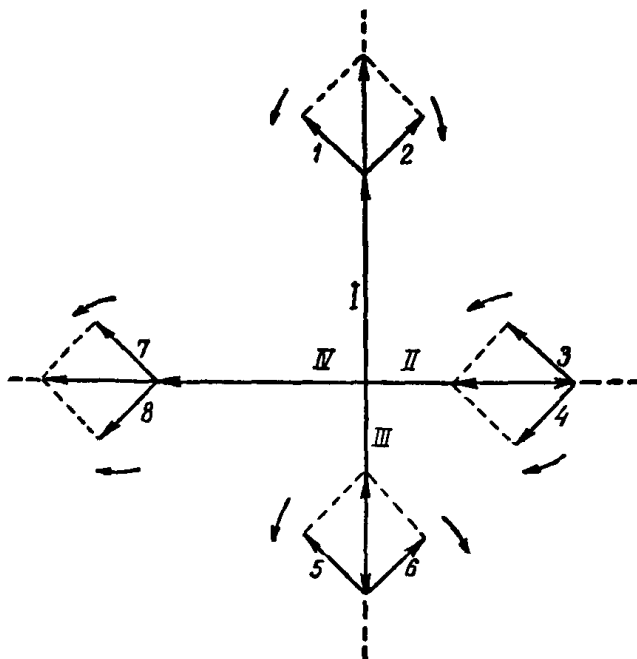


图 2.3.2

的輸出电压在公共电路上相迭加。可看出，无论三相或四相調制系統都不需要平衡調制器，而是用一般的調制器。

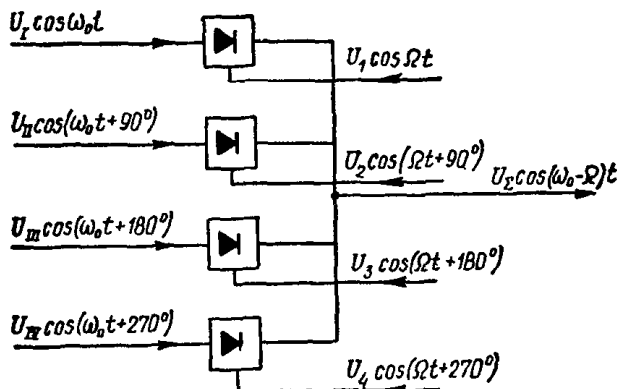


图 2.3.3

2.4 两相調制

前面已經提到过，当 $n > 2$ 时，多相調制在原則上是可能的。換句話說，在各电压矢量和为多邊形时，用多相調制获得

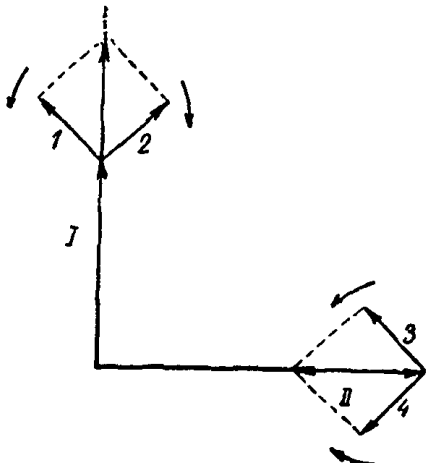


图 2.4.1

单边带，是可以实现的。若选择 $n=2$ （即相位差为 180° 的两相电压），载頻电压将被抑制，然而在这种情况下两个边带都被保留。这可以用简单矢量图容易地說明的。但是也常用两相調制系統来形成单边带振蕩。應該指出，这时“两相”这个名詞已

不应按公式(2.1.1)来理解了。在这个系統中，应是相位差为 90° 的两相电压。在图 2.4.1 的矢量图中很明显地可看出，同样在类似的調制情况下，上边带被抑制而分出下边带。至于載頻，用平衡調制器可以将它抑制。这是最简单的两相調制电路的缺点。

以后，当研究到具体的多相調制方案时，将分析一系列的两相电路(相移为 90°)，在实际中对这些电路是有意义的。

3. 无线通信中^①单边带的分离

3.1 RC低頻寬頻帶移相器

在前一章中曾經指出了在原理上用移相設備来获得单边带的可能性。为了获得单边带信号，必須在低頻和高頻頻段內建立两个对应的多相电压系。低頻頻段的多相电压應該是寬頻帶的。換句話說，在多相电压系中，低頻电压的變換（有固定的相移）應該是对任何低頻信号頻率都是有效的。

寬頻帶移相系統可以把一个低頻电压轉变为有固定相位移的两相电压。在必需三相电压（为了三相調制）的情况下（以后我們將看到），可以在两相的基础上用适当的变换器来产生，四相电压可以直接从两相电压得到。

因此，对我们感兴趣的是在相当寬的頻段上使低頻电压相位轉变的可能性。相位轉变的精确度應該很高，因为它决定了对不需要边带抑制的程度。对寬頻帶移相設備的第二个要求是輸出电压与频率无关。所提出的这些問題可以非常成功地用两

① 在这一章中研究一些利用低頻 RC 移相器在高频时形成单边 带信号的問題。在这里当然也可以利用移相设备，这一点将在第四章中叙述。

个有源四端网络解决，每个四端网络的相移是随着频率按对数规律变化的。

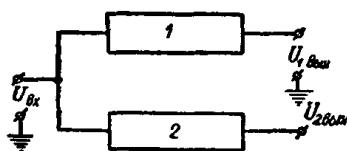


图 3.1.1

假設，在两个四端网络的輸入端上（图 3.1.1）同相地加上一个电压 U_{sx} ，再假設，輸出电压 \dot{U}_{1s6ix} 及 \dot{U}_{2s6ix} 的相位 φ_1 和 φ_2 是頻率的对数函数：

$$\dot{U}_{1s6ix} = |U_{1s6ix}| e^{j\varphi_1}; \quad \dot{U}_{2s6ix} = |U_{2s6ix}| e^{j\varphi_2},$$

其中 φ_1 及 φ_2 是对应于四端网络 1 和 2 的相位移：

$$\varphi_1 = C_1 + \ln K_1 F;$$

$$\varphi_2 = C_2 + \ln K_2 F.$$

这里 C_1 、 K_1 、 C_2 及 K_2 是四端网络的常数。

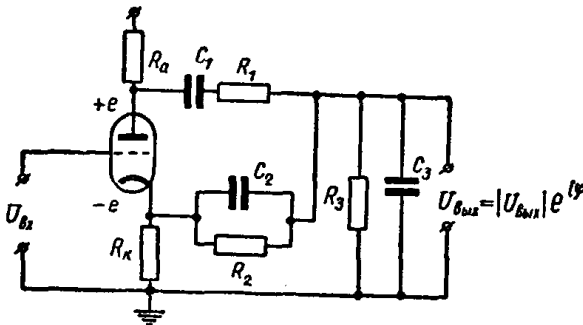


图 3.1.2

对于上面指出的各相位移关系，在輸出端上可得到相差为 $\varphi_1 - \varphi_2 = C_1 - C_2 + \ln \frac{K_1}{K_2} = \text{常数}$ 的两个电压。

我們看出，由于頻率对輸出电压的相位是对数关系，因而得到与頻率无关的、但有固定相位移的两个电压。自然，对于技术任务來說，感兴趣的是怎样解决所提出的任务，即能保証相位变化規律是非常接近于对数关系的具体电路。

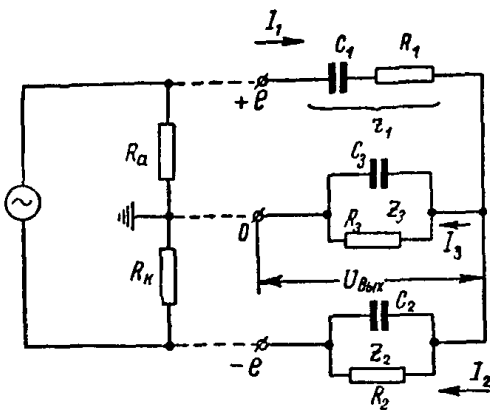


图 3.1.3

在图 3.1.2 上画出了 RC 四端网络的电路。在一定的条件下，图 3.1.2 满足所提出的要求（具有允许的精确度）。为了电路的正常工作，板极和阴极的电位应该是绝对值相等而相位相反的。四端网络的等效电路示于图 3.1.3 上。我们可列出基本方程：

$$\begin{aligned} e &= \dot{I}_1 \dot{Z}_1 + \dot{I}_3 \dot{Z}_3, & e &= \dot{I}_2 \dot{Z}_2 - \dot{I}_3 \dot{Z}_3, \\ \dot{U}_{\text{buzz}} &= \dot{I}_3 \dot{Z}_3, & \dot{I}_1 - \dot{I}_2 - \dot{I}_3 &= 0 \end{aligned}$$

因而 $\dot{I}_3 = \dot{I}_1 - \dot{I}_2$ 。

经过一些变换以后，得

$$\dot{U}_{\text{buzz}} = -e \frac{\frac{\dot{Z}_3}{\dot{Z}_2} - \frac{\dot{Z}_3}{\dot{Z}_1}}{1 + \frac{\dot{Z}_3}{\dot{Z}_1} + \frac{\dot{Z}_3}{\dot{Z}_2}} = -e \frac{\dot{Z}_1 \dot{Z}_3 - \dot{Z}_2 \dot{Z}_3}{\dot{Z}_1 \dot{Z}_2 + \dot{Z}_2 \dot{Z}_3 + \dot{Z}_1 \dot{Z}_3}.$$

由图 3.1.2 得出， $-e$ 的电位与控制栅极电位同相。因而，我们足以确定输出电压与 $-e$ 之间的相位移。在上面所得出的关系式中，这一关系是以一般形式来表示的。对我们有意义的，频率与相位的对数关系可以从下列关系式中得到：

$$a = \frac{C_2}{C_1}, \quad R_2 = \frac{R_1}{a}, \quad R_3 = \frac{1-4a}{4a} R_2, \quad C_3 = \frac{4a}{1-4a} C_2.$$

上式中 a 是主要的计算参数，它的选择方法将在以后讨